



## کمانش الکتروترمو مکانیکی نانوتیر پیزوالکتریک با استفاده از تئوری های الاستیسیته گرادیان کرنشی و تیر ردی

علی قربان پور آرانی<sup>1\*</sup>، محمد عبدالهیان<sup>2</sup> و رضا کلاهچی<sup>2</sup>

<sup>1</sup> استاد، مهندسی مکانیک، دانشکده مهندسی مکانیک، دانشگاه کاشان، کاشان

<sup>2</sup> دانشجوی دکتری تخصصی مهندسی مکانیک، دانشکده مهندسی مکانیک، دانشگاه کاشان، کاشان

تاریخ دریافت: 1392/03/26؛ تاریخ بازنگری: 1393/08/02؛ تاریخ پذیرش: 1393/09/25

### چکیده

در این مقاله کمانش عرضی نانوتیر پیزوالکتریک واقع در محیط الاستیک با استفاده از تئوری تیر ردی مورد بررسی قرار گرفته است. نانوتیر در راستای ضخامت قطبی شده و تحت یک ولتاژ خارجی و اختلاف دما قرار دارد. برای مدل کردن بستر الاستیک از مدل پاسترناک و برای بررسی اثرات مقیاس کوچک از تئوری الاستیسیته گرادیان کرنشی استفاده شده است. ابتدا به بررسی روابط کرنش-تغییر مکان پرداخته شده، سپس با استفاده از روش انرژی و اصل همپلتون معادلات تعادل بدست آمده‌اند. برای حل این دستگاه معادلات و بدست آوردن بار کمانش بحرانی از روش تحلیلی استفاده شده است. در نهایت اثرات تغییرات دما، مود های کمانش، ولتاژ اعمال شده، پارامترهای مقیاس کوچک و محیط الاستیک بر نسبت بار کمانش بحرانی، نسبت دمای بحرانی و نسبت ولتاژ بحرانی نشان داده شده است. همچنین مقایسه‌ای میان دو تئوری الاستیسیته گرادیان کرنشی و تنش کوپل اصلاح شده صورت گرفته است. نتایج نشان می‌دهند با افزایش ولتاژ اعمال شده، نسبت بار کمانش بحرانی نیز افزایش و نسبت دمای بحرانی کاهش می‌یابد.

**کلمات کلیدی:** نانوتیر پیزوالکتریک؛ تئوری تیر ردی؛ تئوری الاستیسیته گرادیان کرنشی؛ محیط پاسترناک.

## Buckling of an embedded piezoelectric nanobeam based on strain gradient and Reddy beam theories

A. Ghorbanpour Arani<sup>1,\*</sup>, M. Abdollahian<sup>2</sup> and R. Kolahchi<sup>2</sup>

<sup>1</sup> Prof., Mech. Eng., Kashan University, Kashan, Iran

<sup>2</sup> Ph.D. Student, Mech. Eng., Kashan University, Kashan, Iran

### Abstract

Electro-thermo-mechanical transverse buckling of an embedded piezoelectric nanobeam (PNB) is investigated in this article based on Reddy beam theory (RBT). Surrounded elastic medium is simulated by the Pasternak foundation. The small scale effects are taken into account using strain gradient theory (SGT). In order to control the vibration characteristics, the PNB is subjected to an applied voltage in the thickness direction and a uniform temperature change. The governing equations are derived based on the energy method and Hamilton's principle which are then solved by an analytical method to obtain the critical buckling load. The effects of temperature change, external electric voltage, the material length scale parameters and elastic medium on the buckling load ratio of the PNB are studied in detail. Moreover, a comparison between modified couple stress theory and strain gradient theory is carried out. The presented results indicate that increasing the external applied voltage increases the buckling load ratio of the piezoelectric nanobeam.

**Keywords:** Piezoelectric nanobeam; Reddy beam theory; Strain gradient theory; Pasternak foundation.

## 1- مقدمه

تیرها یکی از پرکاربردترین سازه‌ها در علوم مهندسی از جمله مهندسی معماری، عمران و مکانیک می‌باشند. در این میان، نانوتیرها به عنوان یکی از نانوساختارهای یک بعدی کاربردهای مختلفی در فناوری نانو پیدا کرده‌اند. به تازگی مطالعات زیادی در زمینه‌ی بررسی رفتار مکانیکی نانوتیرها صورت گرفته است. تای<sup>1</sup> [1] با استفاده از تئوری غیر موضعی الاستیسیته<sup>2</sup> به بررسی خمش، کمانش و ارتعاشات نانوتیرها پرداخت. همچنین الطاهر<sup>3</sup> و همکاران [2] کمانش استاتیکی نانوتیرهای مدرج تابعی را با استفاده از تئوری غیر موضعی الاستیسیته مورد بررسی قرار دادند. آن‌ها برای بدست آوردن معادلات حاکم از تئوری تیر اویلر-برنولی استفاده کردند. اصغری فرد شرابیانی و حائری یزدی [3] نیز ارتعاشات غیر خطی نانوتیرهای مدرج تابعی<sup>4</sup> را مطالعه کردند. آن‌ها در تحلیلی خود از تئوری تیر اویلر-برنولی استفاده کرده و با در نظر گرفتن اثرات سطح نشان دادند که با افزایش ابعاد نانوتیر مدرج تابعی، اثرات سطح بر فرکانس طبیعی بی‌بعد کاهش می‌یابد.

مواد پیزوالکتریک بسیار پر کاربرد بوده و در زمینه‌های مهمی همچون هوا-فضا، انرژی هسته‌ای، کارخانه‌های شیمیایی، الکترونیک و بیومتریال‌ها کاربرد دارند. لقمان و همکاران [4] نشان دادند، در این مواد بر اثر تغییر شکل یا بارگذاری مکانیکی میدان الکتریکی تولید شده و بر اثر اعمال میدان الکتریکی، تغییر شکل در ساختار ماده رخ می‌دهد. قشلاقی و هاشمی‌نژاد [5] برای پیش‌بینی اثرات سطح بر ارتعاشات عرضی نانوسیم‌های پیزوالکتریک یک حل تحلیلی ارائه نمودند. ارتعاشات غیر خطی نانوتیر پیزوالکتریک تحت اختلاف دمای یکنواخت و ولتاژ خارجی توسط که و همکاران [6] ارائه شد. آن‌ها از تئوری تیرهای اویلر-برنولی و تیموشنکو برای مدل کردن نانوتیر و از تئوری غیر موضعی الاستیسیته برای بررسی اثر مقیاس کوچک استفاده کردند و نشان دادند که با افزایش ولتاژ خارجی فرکانس طبیعی سیستم کاهش می‌یابد. خدابی مرقی و همکاران [7]

ارتعاشات غیر خطی نانولوله‌ی دو جداره‌ی نیتريدیور حاوی جریان سیال ویسکوز واقع در محیط پاسترناک را با استفاده از تئوری غیر موضعی الاستیسیته مطالعه کردند. نتایج آن‌ها نشان داد که توزیع پتانسیل الکتریکی در طول نانولوله با افزایش اثر مقیاس کوچک، کاهش می‌یابد.

طبق تئوری موضعی الاستیسیته، تنش در هر نقطه از یک ماده وابسته به کرنش و تغییر مکان در همان نقطه از ماده می‌باشد. بنابراین تئوری موضعی وابسته به اندازه نبوده و از آن‌جایی که برای تحلیل رفتار مکانیکی نانوساختارها اثرات مقیاس کوچک حائز اهمیت می‌باشد، برای تحلیل نانوساختارها می‌بایست از تئوری‌های مقیاس کوچک از جمله تئوری غیرموضعی الاستیسیته [8 و 9]، تئوری الاستیسیته گرادیان کرنشی<sup>5</sup> [10-14] و تئوری تنش کوپل اصلاح شده<sup>6</sup> [15 و 16] استفاده شود. طبق تئوری الاستیسیته گرادیان کرنشی چگالی انرژی کرنشی تابعی از تنسور کرنش<sup>7</sup>، بردار گرادیان اتساع<sup>8</sup>، تنسور گرادیان کشش انحرافی<sup>9</sup> و تنسور گرادیان چرخش<sup>10</sup> می‌باشد. یین<sup>11</sup> و همکاران [10] از تئوری گرادیان کرنشی برای بررسی رفتار دینامیکی لوله‌های حاوی جریان سیال در مقیاس میکرو استفاده کردند. برای یافتن معادلات حرکت غیر خطی حاکم بر میکروتیرها ژائو<sup>12</sup> و همکاران [11] از اصل همپلتون به همراه تئوری گرادیان کرنشی استفاده کردند. در تحقیقی دیگر صادقی و همکاران [12] برای نشان دادن اثرات مقیاس کوچک بر روی خمش، ارتعاشات و پایداری میکروتیرهای مدرج تابعی تئوری گرادیان کرنشی را مورد استفاده قرار دادند. قایش و همکاران [13] ارتعاشات اجباری غیرخطی یک میکروتیر را مورد بررسی قرار دادند. آن‌ها برای بررسی اثرات مقیاس کوچک از تئوری الاستیسیته‌ی گرادیان کرنشی استفاده کردند. خمش استاتیکی، ارتعاشات آزاد و کمانش میکروتیرها با استفاده از تئوری تیر تیموشنکو و نظریه‌ی الاستیسیته‌ی گرادیان

<sup>5</sup>Strain gradient elasticity theory<sup>6</sup>Modified couple stress theory<sup>7</sup>Strain tensor<sup>8</sup>Dilatation gradient tensor<sup>9</sup>Deviatoric stretch gradient tensor<sup>10</sup>Rotation gradient tensor<sup>11</sup>Yin<sup>12</sup>Zhao<sup>1</sup>Thai<sup>2</sup>Nonlocal elasticity theory<sup>3</sup>Eltaher<sup>4</sup>Functionally graded

$$\eta_{ijk}^{(1)} = \frac{1}{3}(\varepsilon_{jk,i} + \varepsilon_{ki,j} + \varepsilon_{ij,k}) - \frac{1}{15}\delta_{ij}(\varepsilon_{mm,k} + 2\varepsilon_{mk,m}) - \frac{1}{15}[\delta_{jk}(\varepsilon_{nm,i} + 2\varepsilon_{mi,m}) + \delta_{ki}(\varepsilon_{mn,j} + 2\varepsilon_{mj,m})], \quad (2-ج)$$

$$\theta_i = \frac{1}{2}e_{ijk}u_{k,j}, \quad (2-د)$$

$$\chi_{ij}^s = \frac{1}{2}(\theta_{i,j} + \theta_{j,i}), \quad (2-ه)$$

$$E_i = -\phi_i, \quad (2-و)$$

که  $u_i$  مؤلفه‌های بردار جابجایی،  $\theta_i$  مؤلفه‌های بردار چرخش،  $\delta_{ij}$  عملگر دلتای کرونیکر،  $e_{ijk}$  تانسور متناوب و  $\phi$  پتانسیل الکتریکی می‌باشد. تانسور تنش  $\sigma_{ij}$ ، بردار جابجایی الکتریکی  $D_i$ ، تنش‌های مراتب بالاتر  $p_i$ ،  $\tau_{ijk}^{(1)}$  و  $m_{ij}^s$  را به صورت زیر می‌توان نوشت:

$$\sigma_{ij} = \lambda \varepsilon_{kk} \delta_{ij} + 2\mu \varepsilon_{ij}, \quad (3-الف)$$

$$p_i = 2\mu l_0^2 \gamma_i, \quad (3-ب)$$

$$\tau_{ijk}^{(1)} = 2\mu l_1^2 \eta_{ijk}^{(1)}, \quad (3-ج)$$

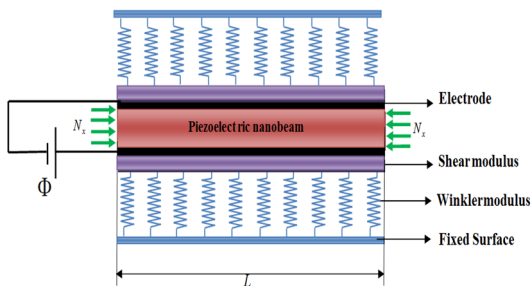
$$m_{ij}^s = 2\mu l_2^2 \chi_{ij}^s, \quad (3-د)$$

$$D_i = e_{imn} \varepsilon_{mn} + \varepsilon_{im} E_m, \quad (3-ه)$$

در روابط بالا  $\lambda$  و  $\mu$  ضرایب لامه،  $e_{imn}$  تانسور مرتبه سوم ضرایب پیزوالکتریک،  $\varepsilon_{im}$  تانسور دی الکتریک و  $(l_0, l_1, l_2)$  پارامترهای مقیاس طول ماده می‌باشند.

### 3- معادلات حاکم

نمایی از تیر پیزوالکتریک واقع در محیط الاستیک با ضخامت  $h$  و طول  $L$  که تحت ولتاژ خارجی قرار دارد در شکل 1 نشان داده شده است.



شکل 1- شماتیک نانو تیر پیزوالکتریک واقع در محیط الاستیک تحت بار محوری

کرنشی توسط ژنگ<sup>1</sup> و همکاران [14] مورد بررسی قرار گرفت.

بر اساس اطلاعات نویسندگان مقاله‌ی حاضر و با توجه به بررسی‌های انجام گرفته در پایگاه‌های معتبر علمی، کماتش نانوتیرهای ردی با استفاده از تئوری الاستیسیته گرادیان کرنشی تاکنون مورد بررسی قرار نگرفته‌اند. در این مقاله کماتش عرضی الکتروترمو مکانیکی نانوتیر پیزوالکتریک واقع در بستر پاسترناک مورد مطالعه قرار گرفته است. بدین منظور برای مدل کردن نانوتیر از تئوری تیر ردی و برای بررسی اثرات مقیاس کوچک از تئوری الاستیسیته گرادیان کرنشی استفاده شده است. هم‌چنین از اصل همیلتون و روش انرژی برای یافتن دستگاه معادلات حرکت و از حل تحلیلی برای بدست آوردن بار کماتش بحرانی استفاده شده است. در پایان نیز اثرات تغییرات دما، مودهای کماتش، مقیاس کوچک، ولتاژ خارجی اعمالی و محیط الاستیک بر روی نسبت بار کماتش بحرانی، نسبت دمای بحرانی و نسبت ولتاژ بحرانی برای هر دو تئوری گرادیان کرنشی و تنش کوپل اصلاح شده نشان داده شده است.

### 2- تئوری پیزوالاستیسیته گرادیان کرنشی

طبق تئوری پیزوالاستیسیته گرادیان کرنشی، چگالی انرژی کرنشی  $\Pi_s$  به صورت تابعی از تانسور کرنش متقارن  $\varepsilon_{ij}$  بردار گرادیان اتساع  $\gamma_i$ ، تانسور انحرافی گرادیان کشش  $\eta_{ijk}^{(1)}$ ، تانسور گرادیان چرخش متقارن  $\chi_{ij}^s$  و بردار میدان الکتریکی  $E_i$  می‌باشد. بنابراین انرژی کرنشی یک ماده‌ی پیزوالکتریک که حجم  $\Omega$  را اشغال می‌کند به صورت زیر بیان می‌شود [8]:

$$\Pi_s = \frac{1}{2} \int_{\Omega} \left( \sigma_{ij} \varepsilon_{ij} + p_i \gamma_i + \tau_{ijk}^{(1)} \eta_{ijk}^{(1)} + m_{ij}^s \chi_{ij}^s - D_i E_i \right) dV, \quad (1)$$

$$(i, j = 1, 2, 3),$$

که روابط زیر را می‌توان نوشت:

$$\varepsilon_{ij} = \frac{1}{2}(u_{i,j} + u_{j,i}), \quad (2-الف)$$

$$\gamma_i = \varepsilon_{mm,i}, \quad (2-ب)$$

<sup>1</sup>Zhang

$$\eta_{113}^{(1)} = \eta_{311}^{(1)} = \eta_{131}^{(1)} = \frac{4}{15} \left( \frac{\partial \psi}{\partial x} \right) \quad (8-ب)$$

$$+ (1 - 3c_1 z^2 - c_2 z) \left( \frac{\partial \psi}{\partial x} + \frac{\partial^3 w}{\partial x^3} \right),$$

$$\eta_{212}^{(1)} = \eta_{122}^{(1)} = \eta_{221}^{(1)} = -\frac{1}{5} \left( z \frac{\partial^2 \psi}{\partial x^2} - c_1 z^3 \left( \frac{\partial^2 \psi}{\partial x^2} + \frac{\partial^3 w}{\partial x^3} \right) \right) \quad (8-ج)$$

$$+ \frac{2}{15} c_2 z \left( \psi + \frac{\partial w}{\partial x} \right),$$

$$\eta_{133}^{(1)} = \eta_{313}^{(1)} = \eta_{331}^{(1)} = -\frac{1}{5} \left( z \frac{\partial^2 \psi}{\partial x^2} - c_1 z^3 \left( \frac{\partial^2 \psi}{\partial x^2} + \frac{\partial^3 w}{\partial x^3} \right) \right) \quad (8-د)$$

$$- \frac{8}{15} c_2 z \left( \psi + \frac{\partial w}{\partial x} \right),$$

$$\eta_{223}^{(1)} = \eta_{232}^{(1)} = \eta_{322}^{(1)} = -\frac{1}{15} \left( \frac{\partial \psi}{\partial x} \right) \quad (8-ه)$$

$$+ (1 - 3c_1 z^2 - c_2 z) \left( \frac{\partial \psi}{\partial x} + \frac{\partial^3 w}{\partial x^3} \right),$$

$$\eta_{333}^{(1)} = -\frac{1}{5} \left( \frac{\partial \psi}{\partial x} + (1 - 3c_1 z^2 - c_2 z) \left( \frac{\partial \psi}{\partial x} + \frac{\partial^3 w}{\partial x^3} \right) \right), \quad (8-و)$$

$$\eta_{112}^{(1)} = \eta_{211}^{(1)} = \eta_{121}^{(1)} = \eta_{213}^{(1)} = \eta_{321}^{(1)} = \eta_{132}^{(1)} = \quad (8-ز)$$

$$\eta_{332}^{(1)} = \eta_{233}^{(1)} = \eta_{323}^{(1)} = \eta_{312}^{(1)} = \eta_{231}^{(1)} = \eta_{123}^{(1)} = \eta_{222}^{(1)} = 0.$$

بکارگیری معادلات (2-د) و (5) نیز معادلات زیر را نتیجه می‌دهد:

$$\theta_2 = \frac{1}{2} \left( \psi - \frac{\partial w}{\partial x} - 3c_1 z^2 \left( \psi + \frac{\partial w}{\partial x} \right) \right), \quad (9-الف)$$

$$\theta_1 = \theta_3 = 0, \quad (9-ب)$$

همچنین با جایگذاری معادلات (9) در معادله (2-د) روابط زیر را می‌توان نتیجه گرفت:

$$\chi_{12} = \frac{1}{4} \left( \frac{\partial \psi}{\partial x} - \frac{\partial^3 w}{\partial x^3} - 3c_1 z^2 \left( \frac{\partial \psi}{\partial x} + \frac{\partial^3 w}{\partial x^3} \right) \right), \quad (10-الف)$$

$$\chi_{23} = -\frac{3}{2} c_1 z \left( \psi + \frac{\partial w}{\partial x} \right), \quad (10-ب)$$

$$\chi_{11} = \chi_{22} = \chi_{33} = \chi_{13} = 0, \quad (10-ج)$$

چگالی انرژی کرنشی نانو تیر پیزوالکتریک با جایگذاری معادلات (6) تا (8) و معادله (10) در معادله (1) به صورت زیر به دست خواهد آمد:

توزیع پتانسیل الکتریکی را به صورت زیر می‌توان نوشت: [17]

$$\Phi(x, z, t) = -\cos(\beta z) \phi(x, t) + \frac{2zV_0}{h}, \quad (4)$$

در رابطه (4)،  $\beta = \pi/h$ ، تغییرات مکانی و زمانی پتانسیل الکتریکی در جهت  $x$  و  $V_0$  ولتاژ خارجی اعمال شده است.

با توجه به تئوری تیر ردی میدان جابجایی در جهات  $x$ ،  $y$  و  $z$  را که به ترتیب با  $u_1(x, y, z, t)$ ،  $u_2(x, y, z, t)$  و  $u_3(x, y, z, t)$  نشان می‌دهند، به صورت زیر می‌توان نوشت:

$$u_1(x, y, z, t) = z\psi(x, t) - c_1 z^3 \left[ \psi(x, t) + \frac{\partial w(x, t)}{\partial x} \right], \quad (5-الف)$$

$$u_2(x, y, z, t) = 0, \quad (5-ب)$$

$$u_3(x, y, z, t) = w(x, t), \quad (5-ج)$$

در معادلات (5)،  $c_2 = \frac{4}{h^2}$ ،  $c_1 = \frac{4}{3h^2}$ .

جابجایی عرضی لایه میانی،  $\psi(x, t)$  چرخش سطح مقطع نانوتیر و  $t$  معرف زمان می‌باشد. جایگذاری معادلات (5) در معادلات (2)، روابط زیر را نتیجه می‌دهد:

$$\varepsilon_{11} = z \frac{\partial \psi}{\partial x} - c_1 z^3 \left( \frac{\partial \psi}{\partial x} + \frac{\partial^3 w}{\partial x^3} \right), \quad (6-الف)$$

$$\varepsilon_{13} = \frac{1}{2} (1 - c_1 z^2) \left( \psi + \frac{\partial w}{\partial x} \right), \quad (6-ب)$$

$$\varepsilon_{22} = \varepsilon_{33} = \varepsilon_{12} = \varepsilon_{23} = 0, \quad (6-ج)$$

با توجه به معادلات (2-الف) و (2-ب)، معادلات زیر را می‌توان بازنویسی کرد:

$$\gamma_1 = z \frac{\partial^2 \psi}{\partial x^2} - c_1 z^3 \left( \frac{\partial^2 \psi}{\partial x^2} + \frac{\partial^3 w}{\partial x^3} \right), \quad (7-الف)$$

$$\gamma_3 = \frac{\partial \psi}{\partial x} - 3c_1 z^2 \left( \frac{\partial \psi}{\partial x} + \frac{\partial^3 w}{\partial x^3} \right), \quad (7-ب)$$

همچنین با استفاده از معادلات (2-الف)، (2-ج) و (5) روابط زیر را می‌توان نتیجه گرفت:

$$\eta_{111}^{(1)} = \frac{2}{5} \left( z \frac{\partial^2 \psi}{\partial x^2} - c_1 z^3 \left( \frac{\partial^2 \psi}{\partial x^2} + \frac{\partial^3 w}{\partial x^3} \right) \right) \quad (8-الف)$$

$$+ c_2 z \left( \psi + \frac{\partial w}{\partial x} \right),$$

با جایگذاری معادلات (11) و (13) در معادله‌ی (14) و جداسازی ضرایب  $\delta w$ ،  $\delta \psi$  و  $\delta \phi$  معادلات تعادل به صورت زیر بدست می‌آیند:

$$c_1 \frac{\partial^2 M^{(4)}}{\partial x^2} + \frac{\partial}{\partial x} \left( Q^{(1)} - c_2 Q^{(3)} + \frac{2}{5} c_2 T_{111}^{(2)} + \frac{2}{5} c_2 T_{122}^{(2)} - \frac{8}{5} c_2 T_{133}^{(2)} - 3c_1 Y_{23}^{(2)} \right) + N_x \frac{\partial^2 w}{\partial x^2} - \frac{\partial^2}{\partial x^2} \left[ \frac{4}{3} T_{113}^{(1)} - \frac{1}{5} T_{223}^{(1)} - \frac{1}{5} T_{333}^{(1)} - \frac{1}{2} Y_{12}^{(1)} - \frac{1}{5} T_{333}^{(1)} - (3c_1 + c_2) \left( \frac{4}{3} T_{113}^{(3)} - \frac{1}{5} T_{223}^{(3)} - \frac{1}{5} T_{333}^{(3)} \right) - \frac{1}{2} Y_{12}^{(1)} - \frac{3}{2} c_1 Y_{12}^{(3)} - 3c_1 P_3^{(3)} \right] - c_1 \frac{\partial^3}{\partial x^3} \left( P_1^{(4)} + \frac{2}{5} T_{111}^{(4)} - \frac{3}{5} T_{122}^{(4)} - \frac{3}{5} T_{133}^{(4)} \right) - k_w w + k_g \nabla^2 w = 0, \quad (15-الف)$$

$$-Q^{(1)} + c_2 Q^{(3)} - \frac{2}{5} c_2 T_{111}^{(2)} - \frac{2}{5} c_2 T_{122}^{(2)} + \frac{8}{5} c_2 T_{133}^{(2)} + 3c_1 Y_{23}^{(2)} + \frac{\partial}{\partial x} \left[ M^{(2)} - c_1 M^{(4)} + 2 \left( \frac{4}{3} T_{113}^{(1)} - \frac{1}{5} T_{223}^{(1)} - \frac{1}{5} T_{333}^{(1)} - (3c_1 + c_2) \left( \frac{4}{3} T_{113}^{(3)} - \frac{1}{5} T_{223}^{(3)} - \frac{1}{5} T_{333}^{(3)} \right) + \frac{1}{2} Y_{12}^{(1)} - \frac{3}{2} c_1 Y_{12}^{(3)} + P_3^{(1)} - 3c_1 P_3^{(3)} \right) + \frac{\partial^2}{\partial x^2} \left[ c_1 \left( P_1^{(4)} + \frac{2}{5} T_{111}^{(4)} - \frac{3}{5} T_{122}^{(4)} - \frac{3}{5} T_{133}^{(4)} \right) - \left( P_1^{(2)} + \frac{2}{5} T_{111}^{(2)} - \frac{3}{5} T_{122}^{(2)} - \frac{3}{5} T_{133}^{(2)} \right) \right] = 0, \quad (15-ب)$$

$$\int_{-h/2}^{h/2} \left[ D_z \beta \sin(\beta z) + \frac{\partial D_x}{\partial x} \cos(\beta z) \right] dz = 0, \quad (15-ج)$$

در روابط (15)،  $N_x$  نیروی ناشی از بارهای محوری، که در این‌جا شامل بارهای الکتریکی  $N_x^E$  و حرارتی  $N_x^T$  می‌باشند و طبق [6] به صورت زیر تعریف می‌شوند:

$$N_x^T = -\lambda_1 h T, \quad (16-الف)$$

$$N_x^E = 2e_{31} V_0, \quad (16-ب)$$

$e_{31}$  ضریب پیزوالکتریک و  $T$  تغییرات دما می‌باشد. برای ارائه‌ی بهتر نتایج پارامترهای بی‌بعد زیر را تعریف می‌کنیم:

$$\Pi_s = \frac{1}{2} \int_0^L \left[ M^{(2)} \frac{\partial \psi}{\partial x} - c_1 M^{(4)} \left( \frac{\partial \psi}{\partial x} + \frac{\partial^2 w}{\partial x^2} \right) + \left( \frac{2}{5} c_2 T_{111}^{(2)} + \frac{2}{5} c_2 T_{122}^{(2)} - \frac{8}{5} c_2 T_{133}^{(2)} - 3c_1 Y_{23}^{(2)} + Q^{(1)} - c_2 Q^{(3)} \right) \left( \psi + \frac{\partial w}{\partial x} \right) + \left( P_1^{(2)} + \frac{2}{5} T_{111}^{(2)} - \frac{3}{5} T_{122}^{(2)} - \frac{3}{5} T_{133}^{(2)} \right) \frac{\partial^2 \psi}{\partial x^2} - c_1 \left( P_1^{(4)} + \frac{2}{5} T_{111}^{(4)} - \frac{3}{5} T_{122}^{(4)} - \frac{3}{5} T_{133}^{(4)} \right) \left( \frac{\partial^2 \psi}{\partial x^2} + \frac{\partial^3 w}{\partial x^3} \right) + P_3^{(1)} \frac{\partial \psi}{\partial x} + \left( \frac{4}{3} T_{113}^{(3)} - \frac{1}{5} T_{223}^{(3)} - \frac{1}{5} T_{333}^{(3)} \right) \left( 2 \frac{\partial \psi}{\partial x} + \frac{\partial^2 w}{\partial x^2} \right) - (3c_1 + c_2) \left( \frac{\partial \psi}{\partial x} + \frac{\partial^2 w}{\partial x^2} \right) \left( \frac{4}{3} T_{113}^{(3)} - \frac{1}{5} T_{223}^{(3)} - \frac{1}{5} T_{333}^{(3)} \right) - 3c_1 P_3^{(3)} \left( \frac{\partial \psi}{\partial x} + \frac{\partial^2 w}{\partial x^2} \right) + \frac{Y_{12}^{(1)}}{2} \left( \frac{\partial \psi}{\partial x} - \frac{\partial^2 w}{\partial x^2} \right) - \frac{3}{2} c_1 Y_{12}^{(3)} \left( \frac{\partial \psi}{\partial x} + \frac{\partial^2 w}{\partial x^2} \right) \right] dx + \frac{1}{2} \int_0^L \int_{-h/2}^{h/2} \left[ D_x \cos(\beta z) \frac{\partial \phi}{\partial x} + D_z \left( \beta \sin(\beta z) \phi + \frac{2V_0}{h} \right) \right] dz dx,$$

که:

$$\begin{cases} M^{(1)} \\ M^{(3)} \end{cases} = \int_{-h/2}^{h/2} \sigma_{11} \begin{Bmatrix} z \\ z^3 \end{Bmatrix} dz, \quad \begin{cases} Q^{(1)} \\ Q^{(3)} \end{cases} = \int_{-h/2}^{h/2} \sigma_{13} \begin{Bmatrix} 1 \\ z^2 \end{Bmatrix} dz, \\ \begin{cases} Y_{ij}^{(1)} \\ Y_{ij}^{(2)} \\ Y_{ij}^{(3)} \end{cases} = \int_{-h/2}^{h/2} m_{ij}^s \begin{Bmatrix} 1 \\ z \\ z^2 \end{Bmatrix} dz, \quad \begin{cases} P_i^{(1)} \\ P_i^{(2)} \\ P_i^{(3)} \\ P_i^{(4)} \end{cases} = \int_{-h/2}^{h/2} p_i \begin{Bmatrix} 1 \\ z \\ z^2 \\ z^3 \end{Bmatrix} dz, \\ \begin{cases} T_{ijk}^{(1)} \\ T_{ijk}^{(2)} \\ T_{ijk}^{(3)} \\ T_{ijk}^{(4)} \end{cases} = \int_{-h/2}^{h/2} \tau_{ijk}^{(1)} \begin{Bmatrix} 1 \\ z \\ z^2 \\ z^3 \end{Bmatrix} dz, \quad (i, j, k = 1, 2, 3)$$

کار خارجی ناشی از محیط الاستیک پاسترناک  $\Pi_e$  به صورت زیر بیان می‌شود [18]:

$$\Pi_e = \frac{1}{2} \int_0^L (-k_w w + k_g \nabla^2 w) w dx, \quad (13)$$

در معادله‌ی (13)  $k_w$  ضریب وینکلر،  $k_g$  ضریب پاسترناک و  $\nabla^2 = \partial^2 / \partial x^2$  عملگر گرادیان می‌باشد.

برای بدست آوردن معادلات تعادل از اصل همپلتون که به صورت معادله‌ی زیر بیان می‌شود، استفاده شده است:

$$\int_0^t (\delta \Pi_s - \delta \Pi_e) dt = 0. \quad (14)$$

$$\begin{aligned} & \left( -\frac{976}{2250}b + \frac{4}{3}\bar{G}_{11}\eta - \frac{16}{9}\bar{J}_{11}\eta + \frac{184}{225}b + \frac{244}{225}b + \frac{2}{3}a \right. \\ & \left. - \frac{368}{2250}b - \frac{368}{2250}b - \frac{1}{20}c - \frac{2}{5}a + \frac{1}{4}c - \frac{368}{225}b \right) \frac{\partial^3 W}{\partial X^3} \\ & + \left( -\frac{976}{2250}b - \frac{16}{9}\bar{J}_{11}\eta + \frac{8}{3}\bar{G}_{11}\eta + \frac{736}{675}b + \frac{1096}{675}b \right. \\ & \left. + \frac{1}{6}c + \frac{4}{3}a - \frac{368}{2250}b - \frac{368}{2250}b - \frac{144}{2880}c - \frac{2}{5}a - \bar{D}_{11}\eta \right. \\ & \left. - \frac{736}{225}b - \frac{1}{4}c - 2a \right) \frac{1}{\eta} \frac{\partial^2 \Psi}{\partial X^2} + (-8\bar{D}_{44}\eta + 16\bar{G}_{44}\eta) \quad (ب-19) \\ & + \bar{A}_{44}\eta + \frac{4}{3}c + \frac{128}{45}b \left( \frac{1}{\eta^2} \frac{\partial W}{\partial X} + \frac{\Psi}{\eta^3} \right) + \left( -\frac{1}{15}a \right. \\ & \left. - \frac{2}{75}b + \frac{1}{315}b + \frac{1}{126}a + \frac{1}{15}b + \frac{1}{6}a \right) \eta \frac{\partial^4 \Psi}{\partial X^4} \\ & + \left( -\frac{1}{30}a - \frac{1}{75}b + \frac{1}{315}b + \frac{1}{126}a \right) \eta^2 \frac{\partial^5 W}{\partial X^5} \\ & + \left( 4\bar{H}_{15} + \frac{4}{3}\bar{I}_{31} - \bar{E}_{15} - \bar{F}_{31} \right) \frac{1}{\eta} \frac{\partial \Phi}{\partial X} = 0, \end{aligned}$$

$$\begin{aligned} & \bar{F}_{31} \frac{\partial \Psi}{\partial X} + \bar{X}_{11}\eta \frac{\partial^2 \Phi}{\partial X^2} - \frac{\bar{X}_{33}}{\eta} \Phi \\ & + \left( \bar{E}_{15} - 4\bar{H}_{15} - \frac{4}{3}\bar{I}_{31} \right) \left( \frac{\partial \Psi}{\partial X} + \eta \frac{\partial^2 W}{\partial X^2} \right) = 0. \quad (ج-19) \end{aligned}$$

#### 4- روش حل

در این مقاله به منظور حل دستگاه معادلات بدست آمده از روش تحلیلی استفاده شده است. به همین منظور برای شرایط تکیه‌گاهی ساده بدون اعمال پتانسیل الکتریکی در دو سر تیر، شکل مودهای زیر در نظر گرفته می‌شوند:

$$W(x) = \bar{W} \sin(m\pi X), \quad (الف-20)$$

$$\Psi(x) = \bar{\Psi} \sin(m\pi X), \quad (ب-20)$$

$$\Phi(x) = \bar{\Phi} \sin(m\pi X). \quad (ج-20)$$

که  $m$  شماره مود می‌باشد؛ هم‌چنین  $\bar{W}$ ،  $\bar{\Psi}$  و  $\bar{\Phi}$  ثوابت دامنه‌ی نوسانات می‌باشند. با جایگذاری معادلات (20) در روابط (19) دستگاه معادلات ماتریسی زیر حاصل می‌شود:

$$[M]\{Y\} = \{0\}, \quad (21)$$

که  $\{Y\} = [\bar{W} \ \bar{\Psi} \ \bar{\Phi}]^T$  می‌باشد. برای بدست آوردن بار کماتش بحرانی، کافی است دترمینان ماتریس  $M$  برابر با صفر قرار داده شود.

$$\begin{aligned} (U, W) &= \left( \frac{u}{h}, \frac{w}{h} \right), \Psi = \psi, X = \frac{x}{L}, \mu = \frac{e_0 a}{L}, \eta = \frac{h}{L}, \\ K_g &= \frac{k_g}{A_{11}}, \Phi = \frac{\phi}{\phi_0}, \phi_0 = \sqrt{\frac{LA_{11}}{\epsilon_{11}}} \\ (\bar{H}_{15}, \bar{J}_{31}) &= \left( \frac{H_{15}\phi_0}{A_{11}h^3}, \frac{I_{31}\phi_0}{A_{11}h^3} \right), (\bar{A}_{11}, \bar{D}_{11}) = \left( \frac{A_{11}}{A_{11}}, \frac{D_{11}}{A_{11}h^2} \right), \\ (\bar{G}_{11}, \bar{J}_{11}) &= \left( \frac{G_{11}}{A_{11}h^4}, \frac{J_{11}}{A_{11}h^6} \right), (\bar{E}_{15}, \bar{F}_{31}) = \left( \frac{E_{15}\phi_0}{A_{11}h}, \frac{F_{31}\phi_0}{A_{11}h} \right), \quad (17) \\ (\bar{A}_{44}, \bar{D}_{44}, \bar{G}_{44}) &= \left( \frac{A_{44}}{A_{11}}, \frac{D_{44}}{A_{11}h^2}, \frac{G_{44}}{A_{11}h^4} \right), K_w = \frac{L^2 k_w}{A_{11}}, \\ (\bar{X}_{11}, \bar{X}_{33}) &= \left( \frac{X_{11}\phi_0^2}{A_{11}h^2}, \frac{X_{33}\phi_0^2}{A_{11}} \right), (\bar{N}_x^T, \bar{N}_x^E) = \left( \frac{N_x^T}{A_{11}}, \frac{N_x^E}{A_{11}} \right), \\ a &= \frac{\mu l_0^2}{A_{11}L}, b = \frac{\mu l_1^2}{A_{11}L}, c = \frac{\mu l_2^2}{A_{11}L}, \end{aligned}$$

که:

$$\begin{aligned} (A_{ii}, D_{ii}, G_{ii}, J_{ii}) &= \int_{-h/2}^{h/2} C_{ii} (1, z^2, z^4, z^6) dz \\ (E_{15}, H_{15}) &= \int_{-h/2}^{h/2} e_{15} \cos(\beta z) (1, z^2) dz, \\ (F_{31}, I_{31}) &= \int_{-h/2}^{h/2} e_{31} \beta \sin(\beta z) (z, z^3) dz, \quad (18) \\ X_{11} &= \int_{-h/2}^{h/2} \epsilon_{11} \cos^2(\beta z) dz, (i = 1, 4), \\ X_{33} &= \int_{-h/2}^{h/2} \epsilon_{33} [\beta \sin(\beta z)]^2 dz, \end{aligned}$$

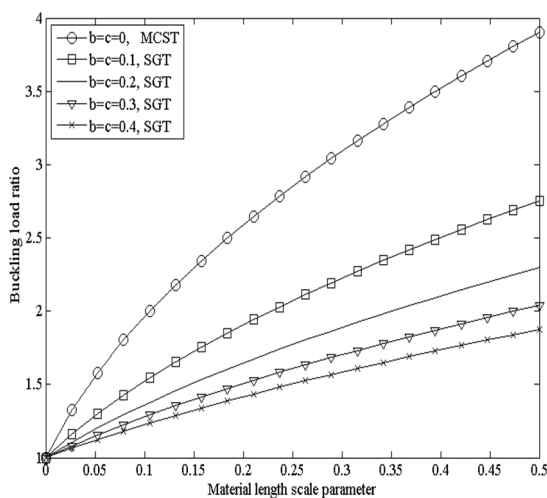
با جایگذاری معادلات (6) تا (10) در معادله (3)، بکارگیری معادلات حاصل در معادلات (15) و استفاده از روابط (17)، معادلات بی‌بعد زیر نتیجه می‌شوند:

$$\begin{aligned} & \left( \frac{976}{2250}b - \frac{244}{225}b + \frac{2}{5}a - \frac{2}{3}a + \frac{16}{9}\bar{J}_{11}\eta - \frac{4}{3}\bar{G}_{11}\eta \right. \\ & \left. - \frac{184}{225}b + \frac{368}{2250}b + \frac{368}{2250}b + \frac{1}{20}c + \frac{368}{225}b - \frac{1}{4}c \right) \frac{\partial^3 \Psi}{\partial X^3} \\ & + \left( \frac{976}{2250}b + \frac{2}{5}a + \frac{16}{9}\bar{J}_{11}\eta - \frac{368}{675}b - \frac{368}{675}b + \frac{368}{2250}b + \right. \\ & \left. \frac{368}{2250}b + \frac{1}{6}c + \frac{1}{20}c + \frac{184}{225}b + \frac{1}{4}c \right) \eta \frac{\partial^4 W}{\partial X^4} \\ & + \left( -\frac{128}{45}b - \frac{4}{3}c - \bar{A}_{44}\eta + 8\eta\bar{D}_{44} - 16\eta\bar{G}_{44} \right) \frac{1}{\eta^2} \frac{\partial \Psi}{\partial X} \\ & + \left( -\frac{128}{45}b - \frac{4}{3}c + 8\bar{D}_{44}\eta - 16\bar{G}_{44}\eta - \bar{A}_{44}\eta \right) \frac{1}{\eta} \frac{\partial^2 W}{\partial X^2} \\ & + \left( \bar{E}_{15} - 4\bar{H}_{15} - \frac{4}{3}\bar{I}_{31} \right) \frac{\partial^2 \Phi}{\partial X^2} - \left( \frac{1}{126}a + \frac{1}{315}b \right) \eta^3 \frac{\partial^6 W}{\partial X^6} \\ & + \left( \frac{1}{30}a - \frac{1}{315}b + \frac{1}{75}b - \frac{1}{126}a \right) \eta^2 \frac{\partial^5 \Psi}{\partial X^5} = 0, \quad (الف-19) \end{aligned}$$

### 5- نتایج

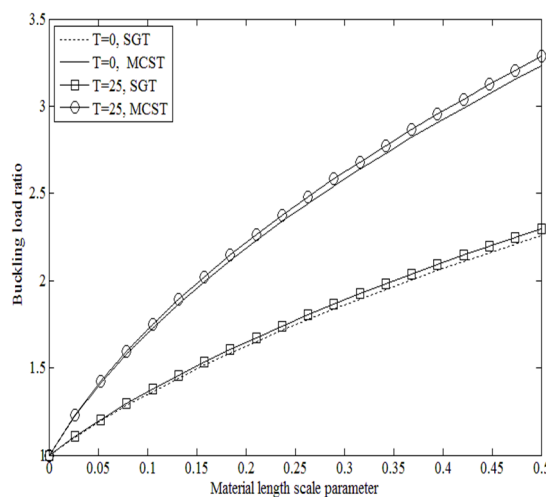
در این بخش، کمانش عرضی الکتروترمو مکانیکی یک تیر پیزوالکتریک در ابعاد نانو با استفاده از تئوری‌های الاستیسیته گرادیان کرنشی و تیر ردی مورد بررسی قرار گرفته است. بدین منظور نسبت بار کمانش به صورت بار کمانش غیر موضعی به بار کمانش موضعی تعریف شده و اثرات پارامترهای تغییرات دما، مودهای کمانش، ولتاژ اعمال شده، پارامترهای مقیاس کوچک و محیط الاستیک بر نسبت بار کمانش بحرانی نشان داده شده است. همچنین به بررسی تغییرات نسبت دما و ولتاژ بحرانی پرداخته شده است. نسبت دمای بدست آمده از تئوری غیر موضعی به نسبت دمای بدست آمده از تئوری موضعی را نسبت دمای بحرانی می‌نامند. همچنین ولتاژ بحرانی به صورت ولتاژ بدست آمده از تئوری غیر موضعی الاستیسیته به ولتاژ بدست آمده از تئوری موضعی الاستیسیته تعریف می‌شود.

شکل 2 اثر پارامترهای مقیاس کوچک ( $b, c$ ) روی نسبت بار کمانشی در برابر پارامتر مقیاس طول ماده ( $a$ ) را نشان می‌دهد. لازم به ذکر است که حالت  $b = c = 0$  حالت خاصی از تئوری الاستیسیته گرادیان کرنشی است که تئوری تنش کوپل اصلاح شده نام دارد. همان‌طور که مشاهده می‌شود نسبت بار کمانشی در تئوری تنش کوپل اصلاح شده بیشتر از تئوری الاستیسیته گرادیان کرنشی می‌باشد که این به دلیل تعداد کمتر پارامترهای مقیاس کوچک در تئوری تنش کوپل اصلاح شده، می‌باشد. همچنین، با افزایش  $b, c$ ، نسبت بار کمانشی و نرخ کاهش آن کاهش می‌یابد. نتیجه دیگری که از شکل 2 مشاهده می‌شود آن است که اثر پارامترهای مقیاس کوچک روی نسبت بار کمانشی نانو تیر پیزوالکتریک با افزایش پارامتر مقیاس طول ماده، افزایش می‌یابد.



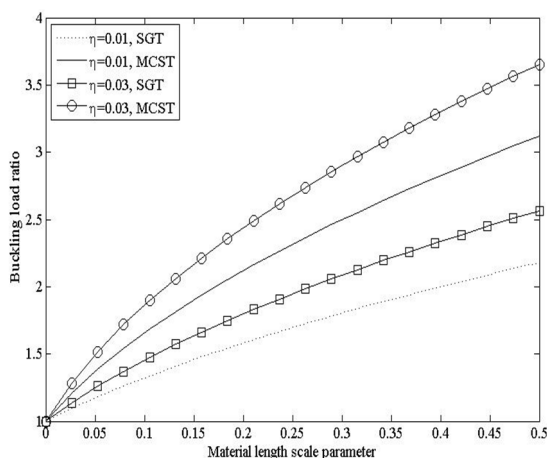
شکل 2- اثر پارامترهای مقیاس کوچک روی نسبت بار کمانشی در برابر پارامتر مقیاس طول ماده

اثر تغییرات دما روی نسبت بار کمانشی در برابر پارامتر مقیاس طول ماده برای دو تئوری الاستیسیته گرادیان کرنشی و تنش کوپل اصلاح شده در شکل 3 نشان داده شده است. نتایج حاکی از آن است که با افزایش دما نسبت بار کمانشی افزایش می‌یابد که این به دلیل کاهش سختی



شکل 3- اثر تغییرات دما روی نسبت بار کمانشی در برابر پارامتر مقیاس طول ماده

سیستم می‌باشد. همچنین نسبت بار کمانش بدست آمده از تئوری تنش کوپل اصلاح شده بسیار بیشتر از تئوری



شکل 5- اثر پارامتر بدون بعد ضخامت به طول تیر روی نسبت بار کمانشی در برابر پارامتر مقیاس طول ماده

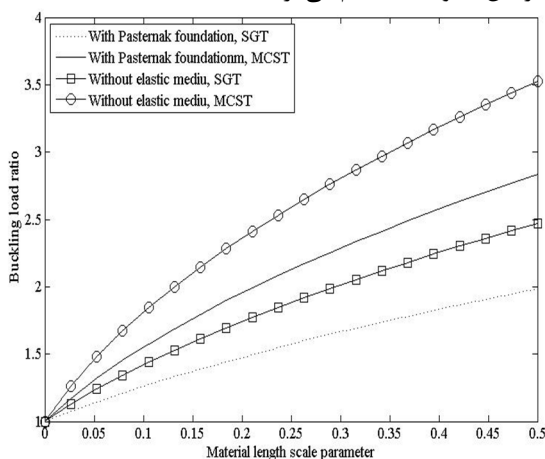
اثر مودهای کمانشی روی نسبت بار کمانشی در برابر پارامتر مقیاس طول ماده برای دو تئوری الاستیسیته گرادیان کرنشی و تنش کوپل اصلاح شده در شکل 6 نشان داده شده است. با توجه به این شکل واضح است که مطابق انتظار، نسبت بار کمانشی برای مود دوم کمتر از مود اول می باشد. به علاوه، اثر مودهای کمانشی روی نسبت بار کمانش با افزایش پارامتر مقیاس طول ماده، بیشتر می شود.

شکل 7 بیانگر اثر ولتاژ خارجی اعمال شده به نانو تیر پیزوالکتریک روی نسبت بار کمانش می باشد. این شکل برای سه ولتاژ مثبت، صفر و منفی رسم شده و تفاوت دو تئوری الاستیسیته گرادیان کرنشی و تنش کوپل اصلاح شده را نیز نشان می دهد. همان طور که مشاهده می شود برای حالتی که ولتاژ اعمالی به نانو تیر پیزوالکتریک مثبت باشد، نسبت بار کمانشی ماکزیمم است و برای حالتی که ولتاژ اعمالی به نانو تیر پیزوالکتریک منفی باشد، نسبت بار کمانشی مینیمم مقدار را دارد. نتیجه مهم دیگری که از این شکل برداشت می شود آن است که اثر ولتاژ خارجی اعمال شده روی نسبت بار کمانشی با افزایش پارامتر مقیاس طول ماده افزایش می یابد. لازم به ذکر است که از ولتاژ خارجی اعمال شده به نانو تیر پیزوالکتریک می توان به عنوان کنترل کننده کمانش سیستم در صنایع مختلف استفاده نمود.

الاستیسیته گرادیان کرنشی می باشد در حالی که اثر تغییرات دما روی نسبت بار کمانش بسیار ناچیز است.

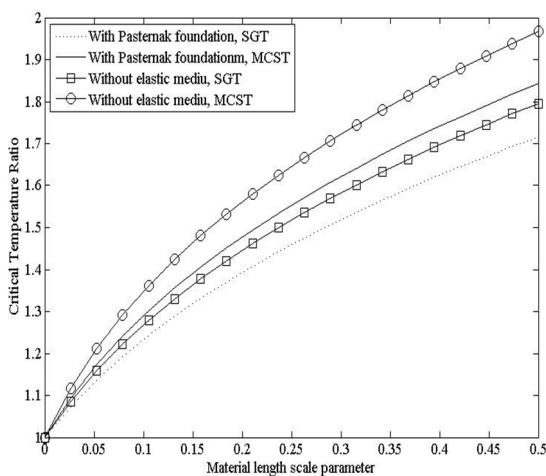
شکل 4 بیانگر اثر محیط الاستیک اطراف نانو تیر پیزوالکتریک روی نسبت بار کمانشی در برابر پارامتر مقیاس طول ماده می باشد. مشخص است که نسبت بار کمانش نانو تیر پیزوالکتریک با استفاده از تئوری تنش کوپل اصلاح شده چه با در نظر گرفتن محیط الاستیک و چه بدون در نظر گرفتن محیط الاستیک، بیشتر از تئوری الاستیسیته گرادیان کرنشی می باشد. همان طور که مشاهده می شود در نظر گرفتن محیط الاستیک باعث کاهش نسبت بار کمانشی می شود. دلیل این امر آن است که محیط الاستیک باعث افزایش سختی سیستم و در نتیجه کاهش نسبت بار کمانشی می گردد.

نسبت بار کمانشی در برابر پارامتر مقیاس طول ماده در شکل 5 رسم شده است به طوریکه اثر پارامتر بدون بعد ضخامت به طول تیر را نشان می دهد. از این شکل استنباط می شود که نسبت بار کمانشی در نسبت بدون بعد بالاتر، بیشتر می شود و اثر آن با افزایش پارامتر مقیاس طول ماده بیشتر می شود زیرا افزایش این پارامتر بدون بعد منجر به افزایش مقاومت سیستم می گردد.

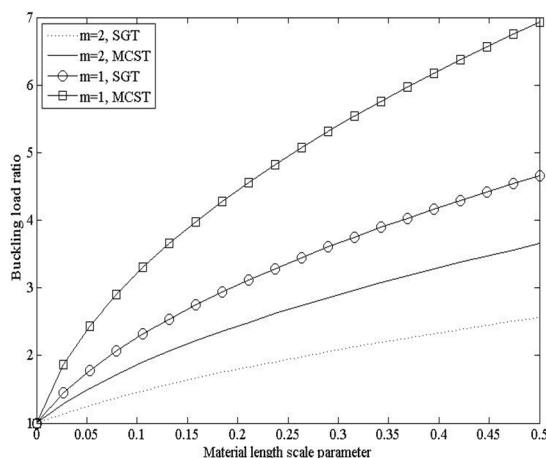


شکل 4- اثر محیط الاستیک روی نسبت بار کمانشی در برابر پارامتر مقیاس طول ماده

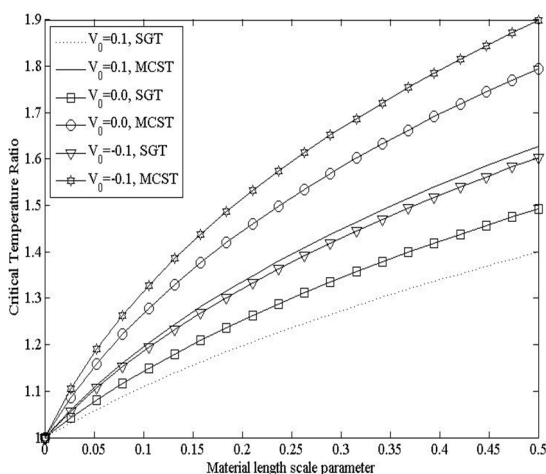




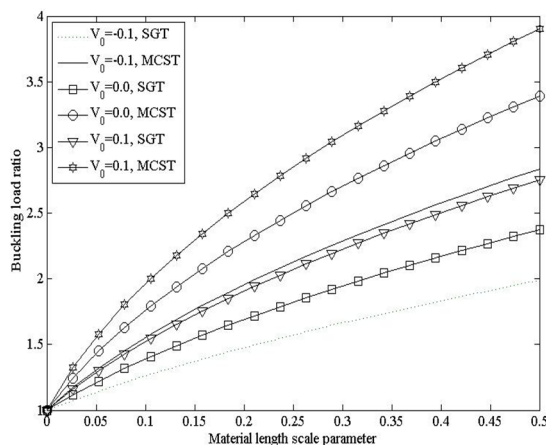
شکل 8- اثر محیط الاستیک روی نسبت دمای بحرانی در برابر پارامتر مقیاس طول ماده



شکل 6- اثر موده‌های کمانشی روی نسبت بار کمانشی در برابر پارامتر مقیاس طول ماده



شکل 9- اثر ولتاژ خارجی روی نسبت دمای بحرانی در برابر پارامتر مقیاس طول ماده



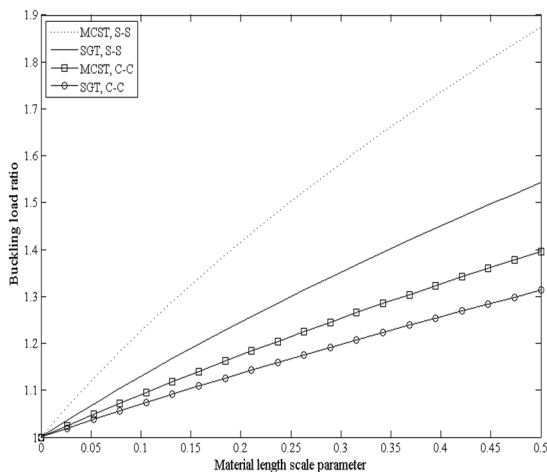
شکل 7- اثر ولتاژ خارجی روی نسبت بار کمانشی در برابر پارامتر مقیاس طول ماده

شکل 9 تاثیرات ولتاژ خارجی را بر نسبت دمای بحرانی در برابر پارامتر مقیاس طول ماده نشان می‌دهد. کاهش ولتاژ اعمال شده باعث افزایش نسبت دمای بحرانی می‌گردد. شکل‌ها 10 و 11 بترتیب تاثیرات محیط الاستیک و ولتاژ اعمالی را بر ولتاژ بحرانی در برابر پارامتر مقیاس طول ماده نشان می‌دهند. همچنین تفاوت بین تئوری‌های الاستیسیته‌ی گرادیان کرنشی و تنش کوپل اصلاح شده بر ولتاژ بحرانی در این دو شکل نشان داده شده است. نتایج نشان می‌دهند، بکار بردن تئوری الاستیسیته‌ی گرادیان کرنشی باعث کاهش ولتاژ بحرانی می‌گردد. همچنین با

تاثیرات محیط الاستیک بر دمای بحرانی بر حسب پارامتر مقیاس طول ماده در شکل 8 برای هر دو تئوری الاستیسیته گرادیان کرنشی و تنش کوپل اصلاح شده رسم شده است. همان‌گونه که مشخص است، نسبت دمای بحرانی بدست آمده از تئوری تنش کوپل اصلاح شده بیش‌تر از نتایج بدست آمده از تئوری گرادیان کرنشی است. همچنین در نظر گرفتن محیط الاستیک اطراف نانوتیر باعث کاهش نسبت دمای بحرانی می‌گردد.

$$\Gamma(x) = \bar{F} \left[ \cosh(mX) - \cos(mX) \right. \\ \left. - \frac{\cosh(n) - \cos(n)}{\sinh(n) - \sin(n)} [\sinh(nX) - \sin(nX)] \right], \quad (22)$$

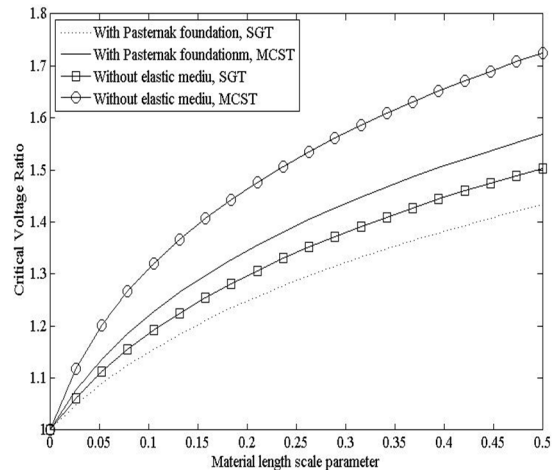
که در معادله‌ی (22)،  $\Gamma = W, \Psi, \Phi$  می‌باشد. همان‌گونه که از شکل مشخص است با استفاده از یک تئوری مشخص نسبت بار کمانش بحرانی برای یک تیر که در دو انتها گیردار است بیش‌تر از تیر با شرایط مرزی دو سر مفصل است.



شکل 12- مقایسه شرایط مرزی دوسر مفصل و دو سر درگیر

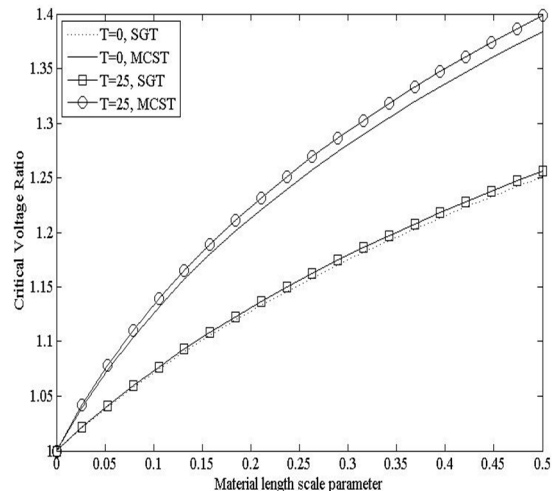
در پایان برای اعتبار سنجی نتایج و مقایسه‌ی آن‌ها با نتایج ارائه شده در پایگاه‌های معتبر علمی، نتایج بدست آمده در مقاله‌ی حاضر با نتایج ارائه شده توسط تایی [1] مقایسه شده است. همان‌گونه که در جدول 1 ملاحظه می‌شود، مقادیر بار کمانش بحرانی موضعی بدست آمده منطبق بر مقادیر بار بحرانی بدست آمده توسط تایی [1] است. این در حالی است که، مقادیر بار بحرانی غیر موضعی به طور دقیق منطبق بر نتایج بدست آمده در مرجع [1] نیست. دلیل این امر آن است که در مقاله‌ی حاضر برای بررسی اثرات مقیاس کوچک از تئوری الاستیسیته‌ی گرادیان کرنشی استفاده شده، در حالی که در مرجع [1] تئوری غیرموضعی الاستیسیته مورد استفاده قرار گرفته است. با این وجود مقادیر بار کمانش بحرانی غیرموضعی نیز از دقت قابل قبولی برخوردار می‌باشند.

افزایش دما ولتاژ بحرانی افزایش می‌یابد، این در حالی است که در نظر گرفتن محیط الاستیک کاهش ولتاژ بحرانی را به همراه دارد. بعلاوه، با افزایش پارامتر مقیاس طول، ولتاژ بحرانی نانو تیر پیزوالکتریک افزایش می‌یابد.



شکل 10- اثر محیط الاستیک روی نسبت ولتاژ بحرانی در برابر پارامتر مقیاس طول ماده

در شکل 12 تاثیر پارامتر مقیاس کوچک بر نسبت بار کمانش برای تیر با شرایط مرزی دو سر گیردار (C-C) و دو سر مفصل (S-S) و تئوری‌های تنش کوپل اصلاح شده و الاستیسیته‌ی گرادیان کرنشی نشان داده شده است. برای بدست آوردن جواب برای این شرط مرزی دو سر گیردار کافی است از معادلات زیر بجای معادلات (20) استفاده شود.



شکل 11- اثر تغییرات دما روی نسبت ولتاژ بحرانی در برابر پارامتر مقیاس طول ماده

scale effects. *Current Applied Physics* 12: 1096–1099.

- [6] Ke LL, Wang YS, Wang ZD (1993) Optimal Design. *Mechanics Letters* 29: 1–6.
- [7] KhodamiMaraghi Z, GhorbanpourArani A, Kolahchi R, Amir S, Bagheri MR (2013) Nonlocal vibration and instability of embedded DWBNNT conveying viscose fluid. *Compos Part B* 45: 423–432.
- [8] Fang B, Zhen YX, Zhang CP, Tang Y (2013) Nonlinear vibration analysis of double-walled carbon nanotubes based on nonlocal elasticity theory. *Appl Math Model* 37: 1096–1107.
- [9] Claeysen JR, Tsukazan T, Coppeti RD (2013) Nonlocal effects in modal analysis of forced responses with single carbon nanotubes. *Mech Syst Signal Pr* 38:299–311.
- [10] Yin L, Qian Q, Wang L (2011) Strain gradient beam model for dynamics of microscale pipes conveying fluid. *Appl Math Model* 35: 2864–2873.
- [11] Zhao J, Zhou S, Wang B, Wang X (2012) Nonlinear microbeam model based on strain gradient theory. *Appl Math Model* 36: 2674–2686.
- [12] Sadeghi H, Bagheri M, Naghdabadi R (2012) Strain gradient elasticity solution for functionally graded micro-cylinders. *Int J of EngSci* 50: 22–30.
- [13] Ghayesh MH, Amabili M, Farokhi H (2013) Nonlinear forced vibrations of a microbeam based on the strain gradient theory. *Int J of EngSci* 63: 52–60.
- [14] Zhang B, He Y, Liu D, Zhipeng G, Shen L (2014) Non-classical Timoshenko beam element based on the strain gradient elasticity theory. *Finite Elem Anal Des* 79: 22–39.
- [15] Simsek M, Kocaturk T, Akbas SD (2013) Static bedding of a functionally graded microscale Timoshenko beam model based on the modified couple stress theory. *Compos Struct* 95: 740–747.
- [16] Simsek M, Reddy JN (2013) A unified higher order beam theory for buckling of a functionally graded microbeam embedded in elastic medium using modified couple stress theory. *Compos Struct* 101:47–58.
- [17] Wang Q (2002) On buckling of column structures with a pair of piezoelectric layers. *EngStruct* 24: 109–205.
- [18] GhorbanpourArani A, Abdollahian M, Kolahchi R, Rahmati AH (2013) Electro-thermo-torsional buckling of an embedded armchair DWBNNT using nonlocal shear deformable shell model. *Compos Part B* 51: 291–299.

### جدول 1- مقایسه‌ی میان نتایج مقاله‌ی حاضر با نتایج ارائه

شده در مرجع [1]

$L/h$	تئوری استفاده شده	نتایج تای [1]	نتایج بدست آمده از SGT	نتایج بدست آمده از MCST
5	تئوری موضعی	8/9519	8/9519	8/9519
5	تئوری غیر موضعی	8/1477	8/3421	8/6598
10	تئوری موضعی	9/6228	9/6228	9/6228
10	تئوری غیر موضعی	8/7583	8/9812	9/1834
20	تئوری موضعی	9/8067	9/8067	9/8067
20	تئوری غیر موضعی	8/9258	9/2804	9/5601
100	تئوری موضعی	9/8671	9/8671	9/8671
100	تئوری غیر موضعی	8/9807	9/2666	9/5827

### تشکر و قدردانی

از دانشگاه کاشان با شماره گرانت 363443/23 به دلیل حمایت از این کار پژوهشی تشکر و قدردانی به عمل می‌آید.

### مراجع

- [1] Thai HT (2012) A nonlocal beam theory for bending, buckling, and vibration of nanobeams. *International journal of Engineering Science* 52: 56–64.
- [2] Eltaher MA, Amam, SA, Mahmoud, FF (2013) Static and stability analysis of nonlocal functionally graded nanobeams. *Composite Structures* 96: 82–88.
- [3] AsgharifardSharabiani P, HaeriYazdi MR (2013) Nonlinear free vibrations of functionally graded nanobeams with surface effects. *Composites: Part B* 45: 581–586.
- [4] Loghman A, Abdollahian M, JafarzadehJazi A, GhorbanpourAraniA (2013) Semi-analytical solution for electrothermomagnetothermoelastic creep response of functionally graded piezoelectric rotating disk. *International Journal of Thermal Sciences* 65: 254–266.
- [5] Gheshlaghi B, Hasheminejad SM, Vibration analysis of piezoelectric nanowires with surface and small